

原爆線量の再評価問題(二)～2.

(I) 放射線の人体への晚発性影響データ.

・原水爆被爆者 --- 宮島・長崎 (ABCCデータ), 核実験被爆者.

・医療被曝 --- 診断放射線 (脳腫瘍X線白血病データ)
治療X線 (強度性エキサイラム)

・原子力産業 --- ランダム山原仰看

核兵器産業 (Harford data, Portsmouth data)
原発周辺 (Stern, Glass data)

中で、宮島・長崎データは、大きさ、線量範囲、年令構成、調査期間
という点において優れており、risk評価の基本データとなるべきだ。

放影研 (PERF, 19ABCC) は 固定集団による追跡調査 (Life Span Study) を行なった。之で、被爆線量算出の基本となる、1940-
50年に亘る T65D (1955年暫定値) である。

• Life Span Study report & (1977)

- sample size 109,000人 ; 期間 1950-74
- 死亡者数 20,270人
- ガン死因 3,957 例 白血病 1,444

(II) 線量再評価問題以前の risk factor 評価.

II-1 ICRP --- Pub 26, 27

• Pub 26 (1977) 2-17.

・白血病は 固定 risk 12. 赤色骨髓は $20 \times 10^{-6} \text{ rem}^{-1}$

・全年均等照射 = 13 全年ガン risk 212 $100 \times 10^{-6} \text{ rem}^{-1}$

の値を報告している。しかし、上の数値を導くには至らず、データが不明であるとされていてない。

• Pub 27 (1977) 272. 実験結果という概念を導入し、詳細な評論のもとで。

(74) 才べての作業者が ICRP の限界、 5 rem yr^{-1} を超過して被曝すれば。

指標は $0.4 + 7.5 + 2.0 + 1.6 = 11.5$ となり、これは致死事故率が $340 \times 10^{-6} \text{ yr}^{-1}$ の

数値に相当し、多くの国々での建設業または石炭鉱業の事故による致死率と同程度である。

としている。

• ICRP の I 級員 松平寛通によれば、(1979 年 保物序会シンポ)

ICRPA risk 総数は 10^-2 以下であることを証明している。

・癌からの 白血病の risk を求めよ。

0~9 rad の 対照群とし、 10^6 yr 当りの 10 rad の 遺伝子頻度は。

$$\left(\frac{12}{114,388} - \frac{8}{142,261} \right) \times 10^6 = 40.7 / 10^6 \text{ yr}$$

10 rad 以上 病死率の 平均 倍率は 105.5 rad である。したがって 遺伝子頻度
は $105.5 \times 0.65 = 68.6 \text{ rad}$ である。

$105.5 \times 0.65 = 68.6 \text{ rad}$ である。

白血病以上の 遺伝子頻度 25 年後 1% 発生率となる。

$$0.71 \times 25 = 17.8 / 10^6 \text{ rad} \approx 20 \times 10^{-6} / \text{rad}$$

・ 白血病以外の 原子炉事故による 癌の発生率を 30 年後とすると

$$(2) \quad \frac{\left(\frac{120}{114,388} - \frac{303}{142,261} \right) \times 10^6}{40.7} = 92.5 / 10^6 \text{ rad}$$

$$\approx 100 \times 10^{-6} / \text{rad}$$

(2) 第二表 白血病以外の癌のリスク計算
(BEEBE, 加藤, LAND; RERF 1-77 より)

(表 1)

長崎の白血病 (森山, 加藤; ABCC-TR15-73)

被量	空中での組織 カーマ (ラド)	人	人・年	死亡数
200 rad 以上	334.7	1,110	22,248	8
100~199	145.7	1,030	20,720	2
50~99	70.5	983	19,504	0
10~49	21.0	2,719	51,922	2
平均/計	105.5	5,842	114,388	12
0~9		8,855	142,261	8

被量	平均カーマ	人	人・年	死
300~399	340	132	3,258	9
200~299	241.4	352	9,152	19
100~199	144.2	671	16,254	42
50~99	70.8	609	14,219	44
10~49	21.5	1,687	34,690	106
平均/計	88.7	3,451	77,573	220
1~9	3.9	3,185	64,935	188
0	0	2,038	49,051	115
		5,223	113,986	303

長崎、1959~1974 年までの調査。原爆被爆時の年齢 10 歳以上、400 ラド以上を除く。

II-2. UNSCEAR (国連科学委員会報告 1977) の risk factor
・白崎/立島・長崎データ、表 3, 4.

立島については neutrons があるため、長崎より基づいて評価。

$\delta = 71.2 \cdot \text{吸收率}/\text{空中率} = 0.55 \text{ とす}$

$$\frac{10 \times 10^{-6}}{0.55} = 18 \times 10^{-6} \approx 20 \times 10^{-6} \text{ rad}^{-1}$$

④ 他アーティ

- ・ 3種毒性アーティ
- ・ 骨盤 X線照射
- ・ トロトラスト
- ・ 子供頭部白血病
- ・ 成人白血病 $(15 \sim 25) \times 10^{-6} \text{ rad}^{-1}$

$$25 \sim 11 \times 10^{-6} \text{ rad}^{-1}$$

$$17 \times 10^{-6} \text{ rad}^{-1}$$

$$50 \sim 55 \times 10^{-6} \text{ rad}^{-1}$$

$$50 \times 10^{-6} \text{ rad}^{-1}$$

$$(15 \sim 25) \times 10^{-6} \text{ rad}^{-1}$$

⑤ 他のガン

(他のガン)/(白血病) CC で 4~6 を推定。

全ガン risk は 白血病の 5~7 倍 とす。

$$(75 \sim 175) \times 10^{-6} \text{ rad}^{-1}$$

$$= 100 \times 10^{-6} \text{ rad}^{-1}$$

表3 寿命調査の被量グループにおける推定カーマと被量対象数
男女、全年令、1950-1972

被量グループ (rad)	庄島			長崎		
	平均カーマ (rad)	中性子線の パーセント	平均人日	平均カーマ (rad)	中性子線の パーセント	平均人日
10-49	21.9	20	9,533	21.0	0.0	3,302
50-99	70.2	19	23,500	70.5	0.3	1,120
100-199	138.6	22	14,733	145.7	1.0	1,127
>200	363.2	26	1,301	334.7	1.7	1,191

出典：引用文献97 71.7 14657 105.5 6740

表4 広島、長崎における1950-1972年の白血病による超過死亡率

男女、全年令

被量グループ (radカーマ)	総人口	期待値	被量数	単位カーマ当たり 超過率 (10^{-4} rad^{-1})	単位加害率被量 当たり超過率 (10^{-4} rad^{-1})
庄島					
0-9 rad グループとの比較					
10-49	17	9.2	7.8(1.6-16.8)	37(5-80)	-
50-99	7	2.2	4.8(1.1-11.0)	29(7-67)	-
100-199	12	1.5	10.5(3.4-7.9)	51(26-88)	-
>200	28	1.3	26.7(18.6-37.1)	57(39-79)	61(41-84)
>100	40	2.8	37.2(27.2-49.5)	55(40-73)	47(34-63)
> 50	47	3.0	42.0(31.3-54.9)	50(37-65)	38(22-39)
> 10	64	1.42	49.8(36.7-65.1)	47(35-61)	31(22-39)

被量グループ (radカーマ)	総人口	期待値	被量数	単位カーマ当たり 超過率 (10^{-4} rad^{-1})	単位加害率被量 当たり超過率 (10^{-4} rad^{-1})
長崎					
0-9 rad グループとの比較					
10-49	2	3.5	-1.5(neq-13)	-2.0(neq-17)	-
50-99	0	1.2	-1.2(neq-1.9)	-1.5(neq-2.4)	-
100-199	3	1.2	1.8(neq-6.7)	1.1(neq-4.1)	-
>200	15	1.2	13.8(6.0-24.4)	35(20-52)	61(35-91)
>100	18	2.1	15.6(9.2-23.5)	39(16-44)	48(28-76)
> 50	18	1.6	14.4(8.0-23.1)	22(12-36)	38(20-61)
> 10	20	1.1	12.9(6.1-22.0)	18(6-33)	30(10-55)

日本の改訂統計との比較

被量グループ (radカーマ)	総人口	期待値	被量数	単位カーマ当たり 超過率 (10^{-4} rad^{-1})	単位加害率被量 当たり超過率 (10^{-4} rad^{-1})
庄島					
10-49	17	6.2	10.8(4.6-19.3)	52(22-92)	-
50-99	7	1.5	5.5(1.8-11.7)	33(11-71)	-
100-199	12	1.0	11.0(5.9-18.4)	54(29-90)	-
>200	28	0.9	27.1(19.0-37.5)	57(40-79)	62(43-86)
>100	40	1.9	38.1(28.3-50.2)	56(52-74)	50(35-67)
> 50	47	3.4	43.6(32.9-56.5)	52(39-67)	42(32-54)
> 10	64	9.6	54.1(41.8-69.2)	52(40-66)	38(29-48)

日本の改訂統計との比較

被量グループ (radカーマ)	総人口	期待値	被量数	単位カーマ当たり 超過率 (10^{-4} rad^{-1})	単位加害率被量 当たり超過率 (10^{-4} rad^{-1})
長崎					
10-49	2	2.0	0.0(neq-4.3)	0.6(neq-6.2)	-
50-99	0	0.7	-0.7(neq-2.3)	-0.9(neq-3.9)	-
100-199	3	0.7	2.3(0.1-7.1)	1.6(1.1-4.3)	-
>200	15	0.7	14.3(8.5-22.4)	38(21-56)	63(27-98)
>100	18	1.1	15.6(10.2-25.3)	39(10-45)	50(31-78)
> 50	18	2.1	15.9(9.5-24.6)	29(15-38)	42(25-64)
> 10	20	1.1	15.9(9.1-25.0)	22(13-35)	37(22-59)

出典：引用文献97

注：10%信頼限界はカッコ内に示してある

II-3. BEIR III report. 1980

Dose-Response model / はい、委員会内部で意見の対立があり、統一的見解はない。3種類 a Dose-Response curve model / あります。3種類の被曝モデルによるリスク推定があります。

① Dose-Response curve.

・ $R_{\text{eff}} = 7.0 \times 10^{-2}$. L : linear, LQ : linear-quadratic
Q : pure quadratic あり

・ Neutron $R_{\text{eff}} = 7.0 \times 10^{-2}$. LQ あり。

$$(L-L) F = d_0 + d_1 D_n + \rho_1 D_n^2$$

$$(LQ-L) F = d_0 + d_1 D_n + d_2 D_n^2 + \rho_1 D_n$$

$$(Q-L) F = d_0 + d_1 D_n^2 + \rho_1 D_n$$

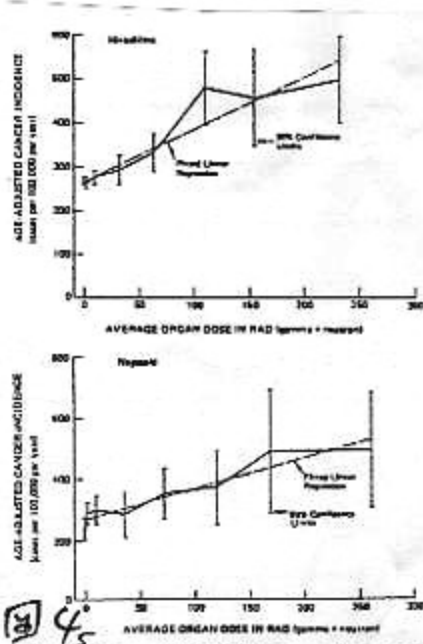
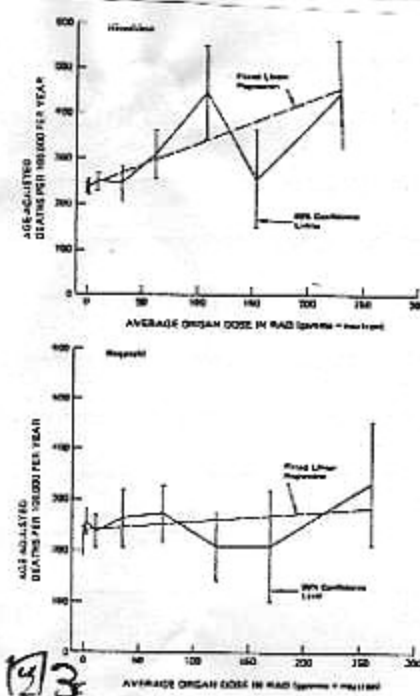
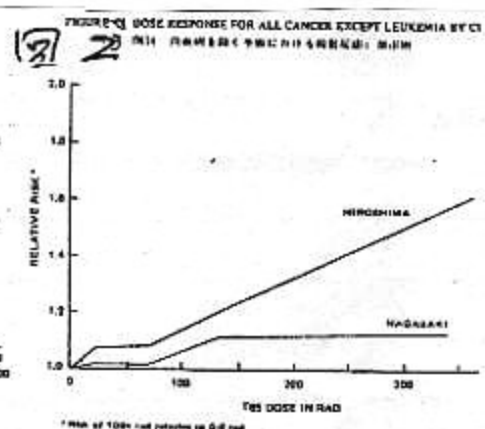
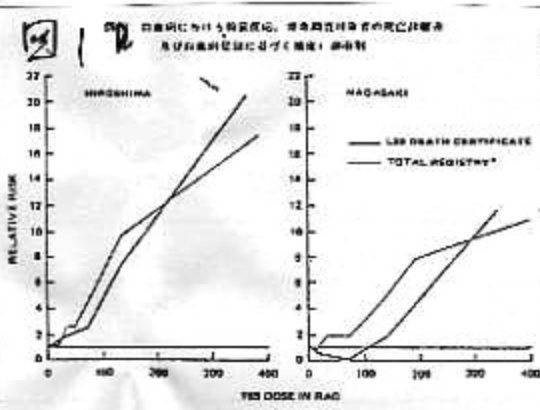


FIGURE 1: Dose-response plots and fitted linear regressions for deaths from all cancers except leukemia, Hiroshima and Nagasaki, 1955-1974.

FIGURE 2: Dose-response plots and fitted linear regressions for incidence of cancers, except leukemia and bone cancer, Hiroshima and Nagasaki, 1955-1974.

subcommittee a 19 教意見と 1217, LQ-L は Q-L, L-L, Q-C は
7.112, 3rd は upper bound, lower bound 8.071 と。

2.5

TABLE 4-15 Comparative Estimates of the Lifetime Risk of Cancer Mortality Induced by Low-LET Radiation—Excess Deaths per Million, Average Value per Rad by Projection Model, Dose-Response Model, and Type of Exposure

Source of Estimate	Dose-Response Models*	Projection Model			
		Single Exposure to 10 Rads		Continuous Lifetime Exposure to 1 Rad/Yr	
		Absolute	Relative	Absolute	Relative
UNSCEAR 1980†	LQ-L, LQ-L	77	226	67	169
1972 BEIR report factors‡	Linear	117	621	115	568
UNSCEAR 1977§	Linear			75-175	

* For UNSCEAR 1980, the first model is used for leukemia, the second for other forms of cancer. The corresponding estimates when the other models are used (thereby providing an envelope of risk estimates) are:

L-L, L-L	167	501	158	403
Q-L, Q-L	10	28		

† The values are average values per rad, and are not to be taken as estimates at only 1 rad of dose.

‡ 1972 BEIR 3rd postnatal, age-specific risk factors used with 1969-1971 life tables, with plateau extending throughout the lifetime remaining after irradiation, estimate (b) in the 1972 report. The average age of the 1969-1971 life-table population exceeds that of the 1967 U.S. population used for the 1972 BEIR report. For this reason, the numbers shown here for continuous exposure are larger, on a per-rad basis, than those obtainable from Tables 3-3 and 3-4 of the 1972 BEIR report.

§ UNSCEAR range of estimates for low-dose, low-LET radiation (p. 414, para. 316).§

• Radford 意見

- other than leukemia (= 7.112), linear $\approx 1.7 \times 10^{-3} \text{ rad}^{-1}$, linear model は underestimate a 5% 以下。
- linear model は cancer incidence risk 1%.

$$100 \text{ rad} \rightarrow \text{female } \approx 1000 \text{ (550-1620)} \\ \text{male } \approx 500 \text{ (260-880)}$$

• Rossia 意見

Q-L model は 過大評価である。

Hiroshima 7.12/2.9-Neutron (= 83 rad, Nagasaki 17.12/2.9-Neutron = 1.7 rad).

$$M_{\text{neutron}} = 1.7 \times 10^{-4} \text{ Da}$$

$$M_{\text{risk}} = 1.7 \times 10^{-3} \text{ Da}^2$$

と 17.12.

II-4. Mancuso, Kneale & Stewart report.

・原子力産業として最も歴史の古い Hanford の労働者 (=2002)、
ガン死者の平均被曝線量は、他の原因の死者と CCR 有意な
差はないことを示した。

・データ、保険の死亡証明と被曝管理記録

・追跡期間 1944-77

表 6

	<u>death</u>	<u>mean dose (rad)</u>	
	<u>all cancer</u>	<u>9/11 cancer</u>	
male	3742 743	2.03	1.66
female	291 89		

・種々のガン (=2002) 有意性を検定し、cancer sensitivity
D₀ の doubling dose は

bone marrow 3.6 (1.7~10.3) rad

lung 13.7 (7.3~20.7)

Pancreas, Stomach, L.I. 15.6 (7.3~55.0)

All male cancer 32.7 (15.3~79.7)

All female cancer 8.7 (2.6~∞)

SLC, male cancer death 743 ± 5 35 case of
radiation induced ≈ 120.3.

・ = 9/11.2. ICRP 動向は 1985/60 年代まで、ADCC
data が相手水準より 2 倍強いため = 120.2.

III. 原爆線量評価.

IV-1. T65D (Tentative 1965 Dose)

- "ICHIBAN" project 1956 ~

ABCC, ORNL, LANL 等の研究室、島嶼長崎の
線量推定を行った大規模な project.

i) 核実験

ii) operation BREK --- 500m a 97-1 = 溶けた原子弹
2.2 Co^{60} source を用いて線量測定

iii) operation HENREE --- BREK a 97-1 = 加速器 + TL.
14MeV a neutron 発生.

iv) ICHIBAN critical assembly --- Little Boy の模擬 critical assembly

v) Little Boy mockup --- 模擬 Little Boy は Cf^{152} source を
用いた実験.

- T65D.

上の i, ii, iv で得られた線量推定値を Axier 等の Health Phys.

12 (1966) に發表

$$D(R) = \frac{G_0 \cdot e^{-\frac{R}{L}}}{R^2}$$

R : start distance (m)

L : Relaxation length (m)

G_0 : source term (rad.m⁻²)

表7

	neutron		r	
	G_{0n}	L_n	G_{0r}	L_r
Hiroshima	2.70×10^{-6}	198	2.85×10^{-6}	250
Nagasaki	1.30×10^{-6}	198	2.75×10^{-6}	350

上の値算出に用いた $T=97-1$ が示された後、明らかに T65D が
相違しない明確に示された部分である.

・ 測定データ.

- Hashizume et al. --- コンクリート中 Co^{60} , 97-1 TL } T65D と
consistent.
- Higashinura et al. --- カラーラ TL

- ABCC 計算. Life Span Study の結果 - 人間の死後年齢分布、被爆時点と位置、年齢等を調べ T65D₁ = 基本線量を算出 (2003).

III-2. T65D₁ 見直し.

- 1976 Los Alamos が Preug が Little Boy & Fatman の output spectrum & private letter で示す
--- 研究所. 中性子爆弾用の初期の因連式.

- Lawrence Livermore が Loewe, ORNL, Kerr による
線量計算と private で circulate.

- May 1982 "Science" 記事.

T65D₁ = 大きな error なや. & C₁ = ある neutron dose の
小さいときに、risk factor の見直しのことを.

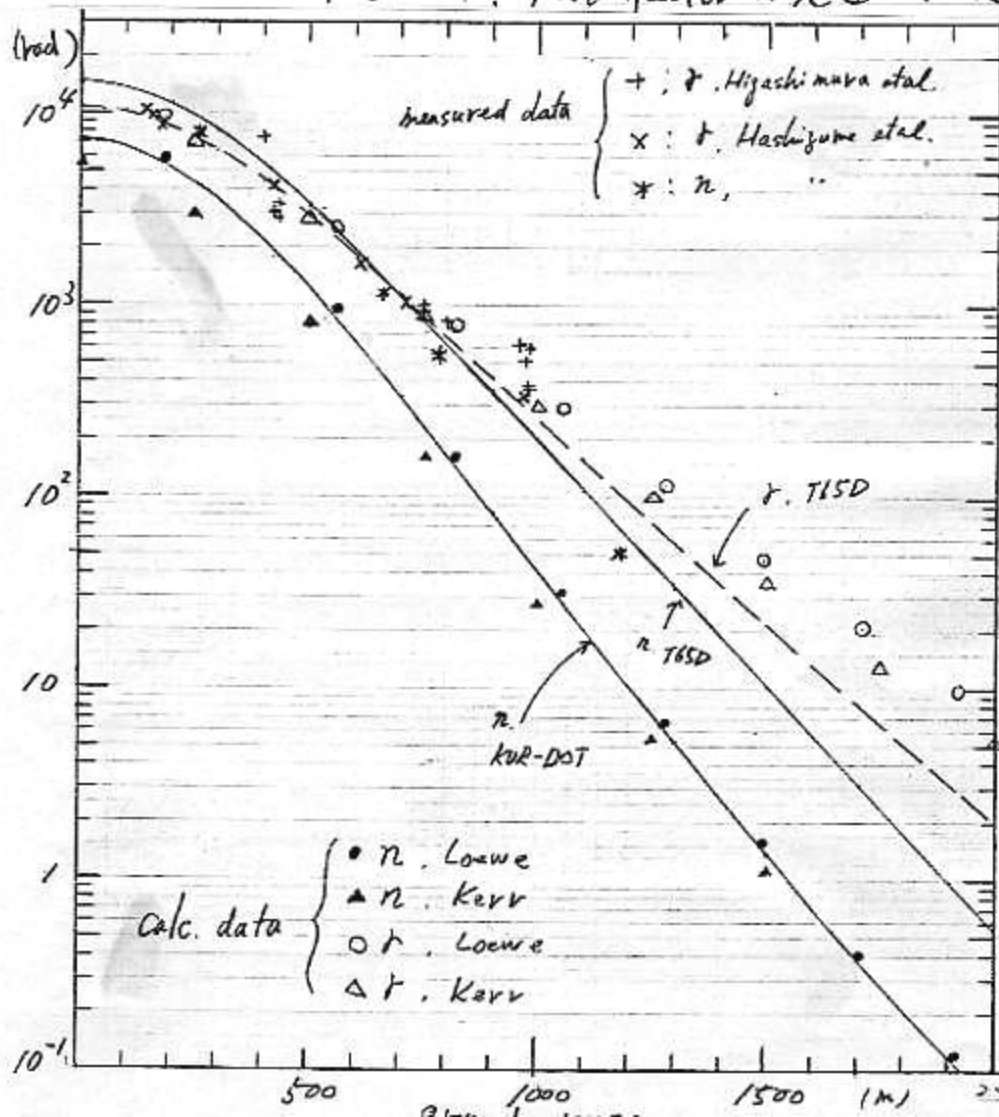
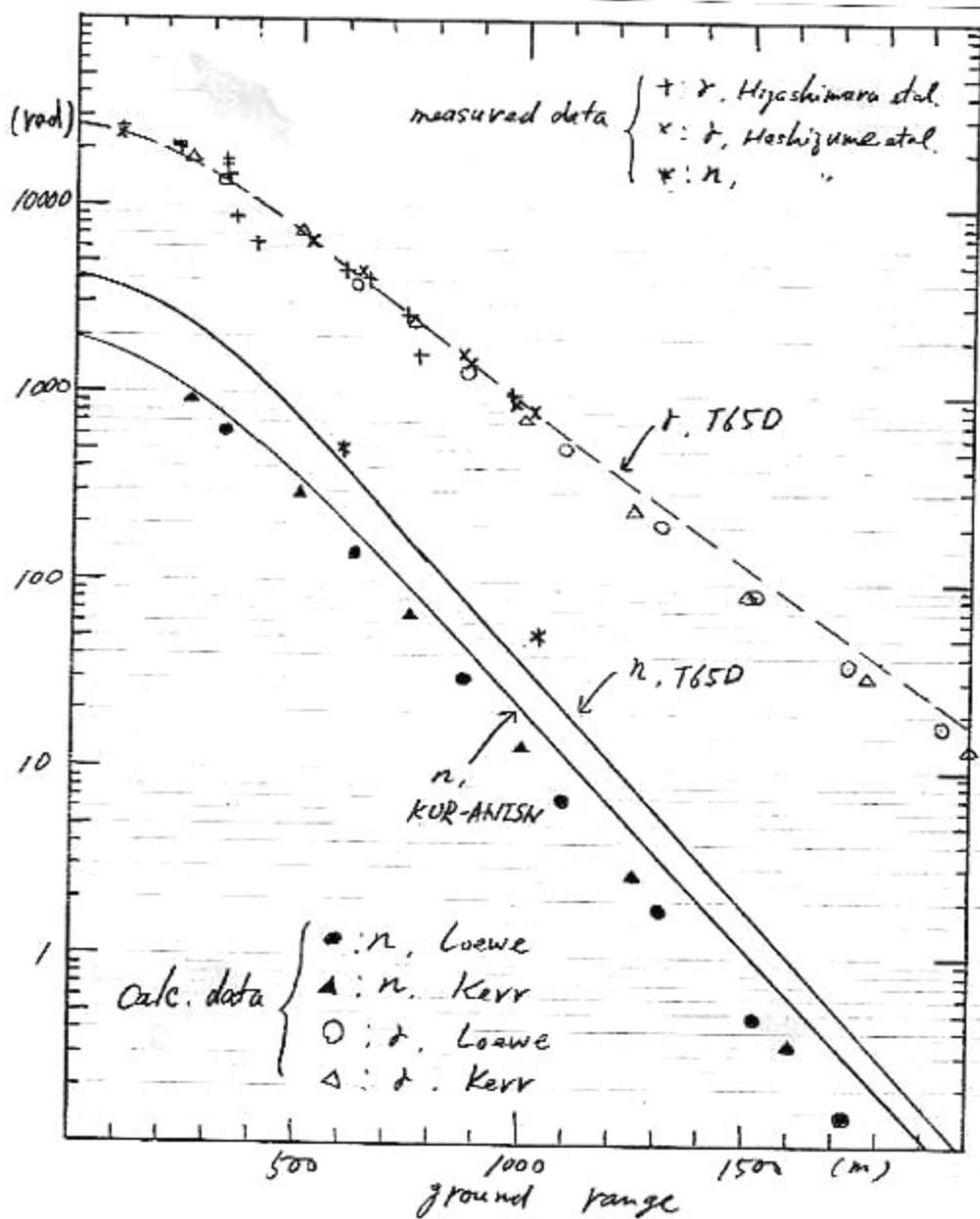


图 5

広島原爆 Little Boy
dose-distance curve.

yield:
T65D 12.5 kton
LCNL 15 kton
ORNL 12.5 kton
KUR 15 kton



⑦ 6

Fatman

dose-distance curve

yield:
 22 ktom.

- Loewe, Kerr, KUR a 計算値と一致する。
- neutron; 宮島. 球形と近似
- 球形 2-12. T65D は negligible と見なす。T=0.8 で最も
- 球形 2-12. Δ と comparable と見なす。 neutron dose の割合
- 球形 2-12. 1000m² 1/5, 1500m² 1/7, 2000m² 1/8
- Δ : 宮島の増加率、球形 2-12
- 球形 2-12. 1000m² 上で 20~30% 増加
- 球形 2-12. 1000m² - 1.2m², 1500m² ~ 2, 2000m² 3m²

• T65D の問題点.

• Neutron :

- relaxation length : $T65D \approx 12$ constant & l. γ = source spectrum $\propto e^{-\lambda_1 x} / T_{12}$, λ_1 定数 ≈ 3 .

~~計算結果は dose-dependant で~~.
source spectrum $\propto e^{-\lambda_2 x} / T_{12}$.

• Source term G_{01} :

- Fatman 272. $G_{01} \approx \frac{t}{T_{12}} = \frac{t}{T_{12}}$. T65D の G_{01}/G_{02} $\approx 17 \sim 2$ $G_{02} \approx 1 \text{ keV}$. $= n t^2 / h$, Nagasaki & Nevada の humidity $\approx 0.6 \sim 0.7$.

- Little Boy 272. ICHIBAN critical assembly の source term $\propto B_{PEN} \approx f_2$ Build Up factor \approx $f_2 L / 17$ 算出。更に ≈ 10 とある。

• δ :

- Fatman, Little Boy と δ の距離 ≈ 272 . Coefficient $\approx T65D / 12$. 距離 $> 10m$ では, Fatman は $T65D \approx T_{12}$ (Little Boy は T_{12}).

- Fatman の L_x は δ の値 $\approx 10^3$ と L_x と G_{01} 同様。

Little Boy $\approx 2 \sim 2.7$. L_x , G_{01} $\approx 10^{10}$.

III-3. 線量貢献値 $\approx G_{01} / 2 \approx 15^{th}$.

- neutron source spectrum ... Preng a spectrum is controlled by $\propto e^{-\lambda_1 x} / T_{12}$.

- δ -dose 計算 $\approx T_{12}$... F.P. cloud model etc.

- Shield effect . . . 周辺状況, 建築物等 shield
• 実際 Dose ≈ 42 dose.

IV. 線量率評価の意味.

IV-1. risk factor の影響.

- 今回、線量率評価問題. 單位: Free-in-air dose $\mu\text{Sv/h}$. shield factor $\approx 10^4$. ABCC data $\approx 10^{-2} \text{ Sv}$. 本日自身の眼で見直して、必要があることを提起した。今般防護 risk factor $\approx 10^{-2}$ 結論を取ったが、甲子年 $\approx 10^{-3}$. 二十世紀後半 $\approx 10^{-2}$ 明らかとし、本單位 $\approx 10^{-3}$. risk factor 単位との差は $\approx 10^{-3}$ である。この程度の差は $\approx 10^{-2}$ 必要である。

今後 $\approx 10^{-2}$ 以下とすべきである。

(1) 之島、 neutra dose \approx 大きい減少

(2) (CCNC, ORNL $\approx 10^{17.18}$) 之島、適正倍率 $\approx 10^2$ 倍。

(1) 之島、 Hiroshima data を取ると、本日の比歯力 \approx 可能十分 $\approx 10^2$, (2) $\approx 10^3$. 対照群の $\approx 10^2$ $\approx 10^{17.18}$.

- T65DR ≈ 1.2 の $\approx 10^2$ risk は問題。 Hiroshima \approx neutron 取扱い (吸收量 $\approx 20\sim 36\%$) の $\approx 10^3$ の比歯率。 Nagasaki data は重視するべきである。

(ICRP, UNSEAR ... Nagasaki only
 BEIR IV ... Hiroshima + Nagasaki $\approx 10^2$
 neutron RBE)

- Hiroshima neutron $\approx 10^2$ (吸收量 $\approx 20\sim 36\%$) の結果。
 Hiroshima data を取ると $\approx 10^3$, $\approx 10^2$ の $\approx 10^3$ の比歯率
 (a) neutron RBE $\approx 1\sim 5$ (< 10) Hiroshima が $\approx 10^3$ の主因。

- (b) RBE $\approx 10^3$ (> 10), neutron が effective.

- LLNL 改訂線量と癌発生率、白血病 risk = 2.2 / 2243.

- T65D は基づいた dose-response

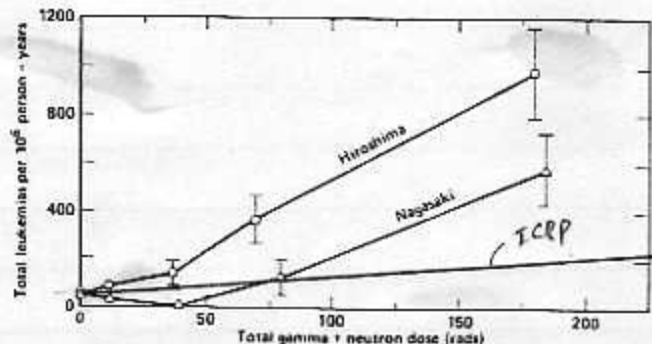


図 7 FIG. 3. Leukemia incidence vs marrow dose using T65D data (Ro78).

- LLNL 改訂線量と癌発生率、白血病 risk = 2.2 / 2243.

図 8

FIG. 4. Reconstruction of Rossi and Mays analysis with LLNL data

(Data in Units of Rads)

Total Dose Range	T65D Based Dose										LLNL Based Dose ¹										
	F-A ² Dose			Shielded Dose			Marrow Dose			Ground Range ³ (m)	Leukemia Incidence ⁴	Leukemia Dose	F-A ² Dose			Shielded Dose			Marrow Dose		
	T	n	r	T	n	r	T	n	r				T	n	r	T	n	r	T	n	r
Hiroshima																					
200+	310	245	269	94	125	24	360	987	28	640	56	382	22	371	5.7						
100-199	125	80	108	39	62	7.8	1150	364	12	195	19	169	3.6	93	1.5						
50-99	46	23	57	13	32	3.0	1280	134	7	114	6.1	98	2.3	54	0.60						
10-49	22	10	12	4.3	10	1.1	1300	80	12	49	1.5	38	0.80	21	0.16						
1-9	3.2	0.8	2.9	0.8	0.5	0.1	1600	45	37	10.4	0.09	8.8	0.09	5.4	0.02						
Nagasaki																					
200+	410	31	329	3.8	181	1.5	1200	566	15	300	3.6	241	1.7	333	0.44						
100-199	158	2.3	148	1.4	89	0.4	1400	120	3	170	1.0	100	0.40	55	0.10						
50-99	64	1	78	0.2	39	0.1	1600	0	3	55	0.30	49	0.05	27	0.01						
10-49	28	0.15	21	-	11.7	-	1810	27	2	18	0.045	15	-	8.3	-						
1-9	4.0	-	4.0	-	1.3	-	12420 ⁴	48	11	2.5	0.002	2.5	-	1.0	-						

¹ See text for uncertainties

² F-A = Free-in-air tissue dose

³ Per 10⁶ person-years

⁴ LLNL data extrapolated

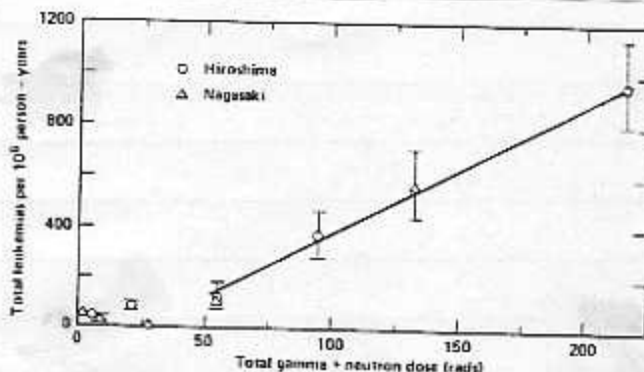


図 8 FIG. 4. Leukemia incidence vs marrow dose using LLNL data. (The error bars on leukemia incidence represent one standard deviation based on the sample size. The uncertainties for dose values are not shown on this figure.)

- ・図7に見られた Hiroshima & Nagasaki の被ばく解消率、
E/C = 高緯度部/低緯度部 = 0.112 は、直線性の仮定に基づくもの

(a) の考え方 - (3)

低緯度部の取扱い、緯度0度～45度の範囲を無視し、Westron
 $RBE = 1 + 0.2$ 、直線部の斜率 risk = 0.03と。

$$5.2 \text{ Svakmias} / 10^6 \text{ yr. rad} = 5.2 \times 10^{-6}$$

登録期間 25年 = 750

$$5.2 \times 25 = 130 \quad (\times 10^{-6} / \text{rad}) \quad \text{と} \approx 2.$$

= 0.1812. ICRP の 6.5倍 2倍と。

(b) の考え方 - (3)

- ・表4の政府統計以後 Data と、表8の dose data と併用。
- ・ >10 groups の起因数を用い、2段階 risk 係数 R を Westron
 $RBE = W + 1.3$ と定義する。

Hiroshima data 2-312.

$$R_H = \frac{74.1}{1 + 0.0170W}$$

Nagasaki data 2-510.

$$R_N = \frac{57.4}{1 + 0.0023P}$$

$R_H = R_N + C$ の直線方程式を解く。

$$P = 55$$

$$W = 2.2 \quad \text{と} \approx 2.$$

= 0.1812 ICRP の 2.8倍。

白血病 = 90-3432, Hiroshima data の risk estimate は
取扱い 543 = 21=57. 約 3~6倍 = 2.5倍
である。

IV-2. その他問題。

AEC data の評価 etc.